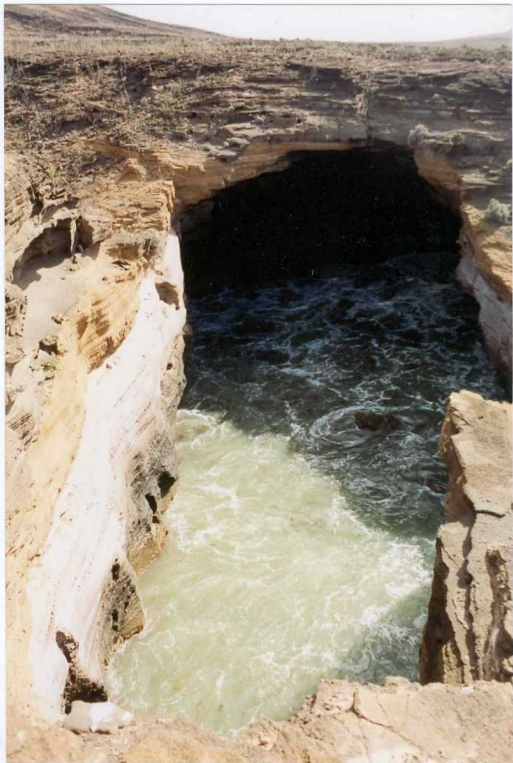




Fot. 1.- Vista de la isla de Alegranza desde las proximidades del vértice Batería, junto al Mirador del Río. En primer término, el extremo nororiental de la isla de La Graciosa, con las casas de Pedro Barba.

Autor: R. Balcells

Edad: Cuaternario



Fot. 10.- Cavidad natural en los depósitos piroclásticos de La Caldera, en Los Jameos, al oeste de Casas de Aleganza.

Autor: R. Balcells

Edad: Cuaternario



Fot. 11.- Detalle de los lapilli acrecionarios en depósitos de dispersión del edificio La Caldera de Alegranza, en la zona de Llano Cumplido.

Autor: R. Balcells

Edad: Cuaternario



Fot. 12.- Salidero de lavas intruyendo en La Caldera de Alegranza, en Llano Cumplido.

Autor: R. Balcells

Edad: Cuaternario



Fot. 13.- Panorámica de la zona central de la isla de Alegranza, desde lo alto de La Caldera. Se observan los depósitos arenosos de El Jablito (J) y la superficie de lavas basálticas del malpaís de La Atalaya y Morros de la Vega. A la derecha, está el edificio de Montaña Lobos.  
Autor: R. Balcells

Edad: Cuaternario



Fot. 14.- Malpaís de lavas basálticas escoriáceas cerca de Llano del Cumplido.  
Autor: R. Balcells  
Edad: Cuaternario



Fot. 15.- Panorámica de la zona nororiental de la isla de Alegranza, en la que se aprecian los edificios La Rapadura (R), malpaís de La Atalaya (A), Montaña Lobos (L) y La Caldera (C).  
Autor: J.A. Gómez

Edad: Cuaternario



Fot. 16.- Edificio estromboliano de Montaña Lobos, visto desde el sur; hacia la izquierda aparecen los piroclastos de dispersión de La Caldera.

Autor: R. Balcells

Edad: Cuaternario



Fot. 17.- Detalle del Edificio piroclástico de Montaña Lobos, en la que se aprecia una colada intercalada (C). En la parte inferior, se observan los depósitos hidromagmáticos (F), de una primera fase de construcción del edificio.

Autor: J.A. Gómez

Edad: Cuaternario



Fot. 18.- Edificio piroclástico de Montaña Lobos junto a una potente colada basáltica con disyunción columnar.

Autor: J.A. Gómez

Edad: Cuaternario



Fot. 19.- Edificio hidromagmático de Montaña La Rapadura, en donde se aprecia la estratificación de los depósitos piroclásticos. En la cumbre tiene un pequeño recubrimiento de piroclastos estrombolianos de dispersión, procedentes de otros centros de emisión cercanos (E).

Autor: J.A. Gómez

Edad: Cuaternario



Fot. 2.- Caldera hidromagmática de Alegranza, vista desde el sur.

Autor: R. Balcells

Edad: Cuaternario



Fot. 20.- Vista de la playa de Punta Trabuco. En primer término, los depósitos piroclásticos de La Caldera.

Autor: R. Balcells

Edad: Cuaternario



Fot. 3.- Potente escarpe formado por piroclastos hidromagnéticos de tipo "dry surge", procedentes del edificio La Caldera, cerca de El Veril.

Autor: R. Balcells

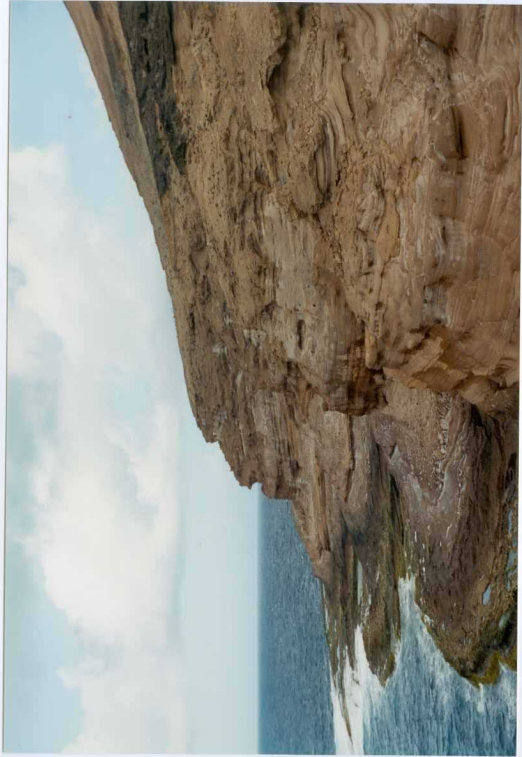
Edad: Cuaternario



Fot. 4.- Detalle de los depósitos hidromagmáticos de la fotografía anterior.

Autor: R. Balcells

Edad: Cuaternario



Fot. 5.- Depósitos piroclásticos hidromagmáticos palagonitizados, procedentes del edificio La Caldera, en la Zona de Puerto Viejo.  
Autor: R. Balcells

Edad: Cuaternario

\* SIN UBICACIÓN EN FICHAS MCC1. NI EN PLANO DE SITUACIÓN DE MUESTRAS.



Fot. 6.- Depósitos piroclásticos estratificados, de carácter hidromagmático y estrombolianos, en la ladera sur del edificio La Caldera de Alegranza.

Autor: R. Balcells

Edad: Cuaternario



Fot. 7.- Cráter del edificio hidromagmático de La Caldera de Alegranza.  
Autor: R. Balcells  
Edad: Cuaternario

\*SIN UBICACIÓN EN FICHAS MOCT. NI EN PLANO DE SITUACIÓN DE MUESTRAS.



Fot. 8.- Detalle de los depósitos piroclásticos hidromagmáticos, con abundantes líticos basálticos en el interior del cráter del edificio Caldera de Alegranza.  
Autor: R. Balcells Edad: Cuaternario



Fot. 9.- Discordancia local, en la ladera occidental del edificio La Caldera de Alegranza, en la zona de Las Capillas.

Autor: R. Balcells

Edad: Cuaternario